

زمین شیمی ایزوتوب های پایدار گوگرد و اکسیژن کانی های سولفیدی و سولفاتی کانسار مس پورفیری پرکام شهر بابک، استان کرمان

نادر تقی پور

دانشکده علوم زمین، دانشگاه دامغان، دامغان

مریم درانی

گروه زمین شناسی، دانشکده علوم، دانشگاه شهید باهنر کرمان

تاریخ پذیرش: ۱۳۹۲/۰۱/۱۴

taghipour@du.ac.ir

چکیده

کانسار مس پورفیری پرکام در ۸۷ کیلومتری شمال غرب معدن مس پورفیری سرچشمہ و ۲ کیلومتری میدوک قرار دارد. مجموعه آتشفسانی راک با سن ائوسن میزبان این کانسار میباشد. کانیزایی مس کانسار پرکام در ارتباط با جایگزینی تودههای نفوذی پورفیری و کوارتز دیوریت پورفیری با سن میوسن است. ایزوتوب گوگرد کانی های سولفیدی (پیریت و کالکوپیریت) بیانگر گوگرد ماقمایی با مقدار 7 ± 0.7 در هزار در کانسار پرکام می باشد. S^{34} کانی اندیریت دارای مقادیر بیشتری نسبت به کانی های سولفیدی در کانسار پرکام است و دامنه تغییرات $11/7\text{--}21/3\%$ و با مقدار متوسط $16/1\%$ را نشان می دهد. دمای محاسبه شده با استفاده از ایزوتوب گوگرد جفت کانی اندیریت-پیریت از 441.9°C تا 263.3°C در تغییر است. داده های ایزوتوبی نشاندهند اختلاط آب ماقمایی و جوی در تشکیل محلول گرمابی کانسار پرکام می باشند ($5/67\text{--}3/08\%$). تشابه مقادیر S^{34} کانی های سولفیدی و سولفاتی کانسار مس پورفیری پرکام با دیگر کانسارهای مس پورفیری گرمابند ارومیه-دختر گویای تاثیر فرایندهای مشابه در تشکیل این کانسارها می باشد.

کلید واژه ها: ایزوتوب پایدار، کانی های سولفیدی و سولفاتی، مس پورفیری، پرکام، شهر بابک، کرمان

مقدمه

است. جفت کانی که برای دماسنجه مورد استفاده است، می بایست دارای دو خصوصیت زیر باشد.

- این حفت کانی به طور همزمان و در تعادل با هم نهشته شده باشند. یعنی از یک سیال و در یک دما تشکیل شده باشند.
- ترکیب ایزوتوبی آنها می بایست ثابت بماند و تحت تأثیر دگرسانی ها یا تعادل مجدد تغییر نکند.

زمین شناسی کانسار پرکام

کانسار مس پورفیری پرکام در استان کرمان و در ۸۷ کیلومتری شمال غرب معدن مس سرچشمہ و نیز دو کیلومتری شمال غرب معدن مس پورفیری میدوک قرار دارد. این کانسار بر روی گمریند آتشفسانی - نفوذی سمهند - بزمان (شکل ۱) و بر اساس تقسیم بندی زمین شناسی و ساختمانی استان کرمان بر روی گمریند دهچ - ساردوئیه قرار دارد (Dimitrijevic, 1973). بخش اعظم کانی زایی مس پورفیری ایران مربوط به این گمریند آتشفسانی - نفوذی سمهند که به علت فروراش صفحه عربستان به زیر ایران مرکزی در امتداد گسل رورانده زاگرس بوجود آمده است (Berberian and King, 1981; Hassanzadeh, 1993).

در محدوده کانسار مس پورفیری پرکام، توده های نفوذی توسط سنگهای آتشفسانی و آتشفسانی - رسوبی در شمال و جنوب احاطه شده اند (شکل ۲) و شامل سنگ های آندزیت تا تراکی آندزیت، توف و سنگ های پیروکلاستیک آندزیتی می باشند. در قسمت جنوب منطقه، مجموعه آتشفسانی بصورت سنگ های آندزیتی باافت پورفیریتیک و گاه همراه با توف و پیروکلاستیک ظاهر می شود. بخش بزرگی از محدوده مورد مطالعه توسط توده ساب ولکانیک دیوریتی تا میکرودیوریتی احاطه شده است. این توده همان توده پرکام پورفیری می

تلاش های زیادی برای مطالعه ایزوتوب های پایدار مانند کربن، اکسیژن، هیدروژن و گوگرد در سال های اخیر صورت پذیرفته است. هدف از این مطالعات، شناسایی منبع و ترکیب سیالات کانه دار، تعیین منبع سازنده های کانسنگ، تعیین دما و دیگر شرایط نهشت کانه ها بوده است. تغییرات توزیع زمین شناختی ایزوتوب های پایدار به تفاوت اندک آنها در رفتار فیزیکی و شیمیایی در محیط های طبیعی و استه است. به طور کلی پیوندهایی که توسط یون های سبکتر تشکیل شده اند، ضعیف ترند. از این رو یون های ایزوتوبی سبک تر نسبت به واحدهای سنگین ایزوتوب معادل، پویاتر و واکنشگرتر هستند (علیرضایی، ۱۳۷۸).

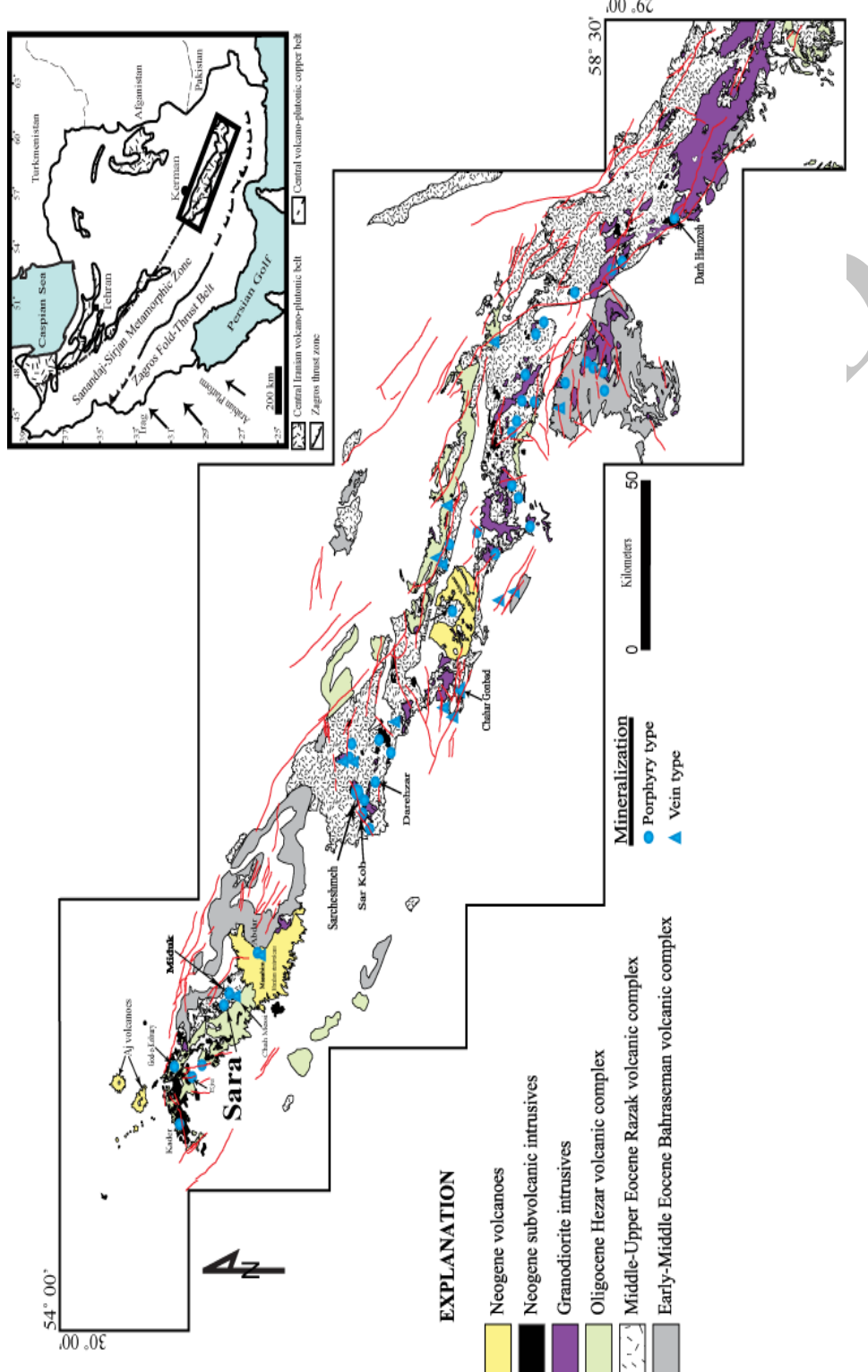
ایزوتوب های پایدار در حال حاضر بخش مهمی از مطالعه کانسارها را به خود اختصاص می دهند، این ایزوتوب ها اطلاعاتی را در چهار حوضه زیر فراهم می کنند:

- دمای نهشت کانی ها
- منشاء های سیالات گرمابی
- منشاء های گوگرد، کربن و اکسیژن و به تبع آن منشاء فلزات
- اندرکنش های آب با سنگ دیواره

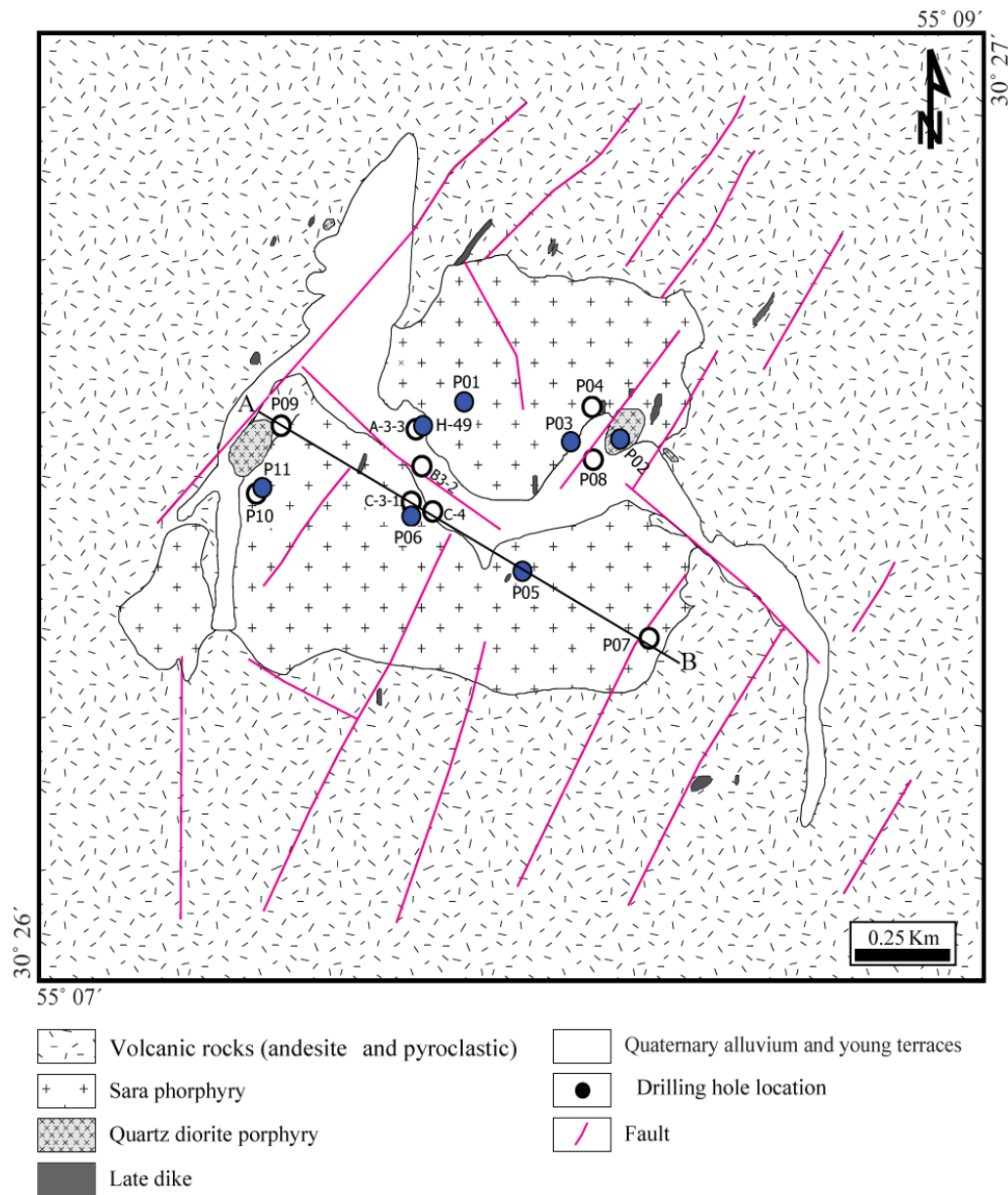
ایزوتوب های پایدار که عموماً در کانی زایی پورفیری گرمابی به کار روند شامل اکسیژن، هیدروژن، گوگرد و کربن می باشند. از مهمترین ویژگی های ایزوتوب های پایدار، تفکیک ایزوتوبی می باشد. تفکیک ایزوتوبی جداش ایزوتوب های سنگین و سبک در اثر فرآیندهای ژئوشیمیایی، فیزیکی و بیولوژیکی در محیط های مختلف زمین شناسی می باشد. تفکیک ایزوتوبی دو کانی نسبت به دما باعث می شود که از جفت کانی ها به عنوان دماسنجه استفاده شود که به دلیل حساسیت بسیار کم نسبت به فشار، بهتر از انواع دیگر

کوارتزی شدیدتر و کانی سازی مس بیشتر گردیده است. آخرین فاز نفوذی در این منطقه دایک های تاریخی با ترکیب کوارتز دیوریت می باشد. این دایک ها اغلب روند شمال شرقی - جنوب غربی دارند و دگرسانی و کانی زایی ضعیفی را متحمل شده اند (کان ایران، ۱۳۸۷).

علاوه بر این یک توده، چند برونزد کوچکتر از توده کوارتز دیوریت در این محدوده مشاهده می شود (شکل ۲). بر اساس مشاهدات صحرایی مجموعه آتشفشنایی - رسوبی و توده پرکام پورفیری توسط توده کوارتز دیوریت قطع شده است. در نقاطی که این توده نفوذ نموده، باعث تشکیل استوک ورک های



شکل ۱. موقعیت کانسار پرکام در کمرنگ آتشفشنایی - نفوذی سهند - بزمان (با تغییرات از Taghipour et al., 2008).



شکل ۲. نقشه زمین شناسی کانسار پرکام (با تغییرات از کان ایران، ۱۳۸۷). دایره های توپر نشانده‌هنده گمانه هایی هستند که نمونه برداری از آنها صورت گرفته است.

را جدا کرده سپس با روش دست چینی در زیر میکروسکوپ، نمونه های خالص را جدا شدند. درصد خالص سازی نمونه ها با این روش بیش از ۹۸ درصد بوده است. بعد از جداسازی، نمونه ها را پودر کرده و در حدود یک گرم از آنها در دانشگاه آریزونای آمریکا مورد آنالیز قرار گرفتند. نمونه های ارسالی شامل ۱۹ نمونه پیریت، ۵ نمونه کالکوپیریت و ۹ نمونه انیدریت بوده است. علاوه بر آنالیز ایزوتوپی گوگرد بر روی این نمونه ها، مقادیر ایزوتوپ اکسیژن نیز در نمونه های انیدریت اندازه گیری شده است.

دگرسانی و کانی زایی در کانسار پرکام

در کانسار سارا دگرسانی در توده های نفوذی و نیز سنگ های آتشفسانی و آتشفسانی - رسوبی میزبان گسترش یافته، ولی عمدۀ دگرسانی در توده های نفوذی رخ داده است. شش نوع دگرسانی در این کانسار شناسایی شده است که

روش کار

کانسار مس پورفیری پرکام دارای تنوع رگه ای زیادی از کانی های فلزی و سیلیکاتی مختلف می باشد. رخداد همزمان کانی های سولفیدی-سولفاتی و سولفیدی-سولفیدی در کانسار پرکام باعث شده تا برای بررسی وضعیت جفت های ایزوتوپی، مطالعه ای بر روی ایزوتوپ های حاوی پیریت - انیدریت، پذیرد. در این مطالعه تعداد ۳۳ نمونه از رگه های حاوی پیریت - انیدریت، کالکوپیریت، انیدریت و پیریت-کالکوپیریت از قسمت های مختلف کانسار پرکام و از گمانه های مختلف انتخاب شد (شکل ۳) ابتدا بر اساس مطالعه مقاطع نازک و نازک-صیقلی، ترکیب کانی شناسی این رگه ها و هاله های دگرسانی در برگیرنده آنها مشخص شد. سپس برای خالص سازی و جدایش کانی های سولفیدی و سولفاتی ابتدا نمونه ها را خرد کرده و با الک کردن، قطعات درشت

عمیق تر کانسار، با ضخامت کم و در بخش های سطحی با ضخامت بیشتری ظاهر می شوند (شکل ۴-۵). رگه های گروه VI از انیدریت تشکیل شده اند. این رگه ها ضخامت ۱ میلی متر تا ۳ سانتی متر داشته و رگه های نوع I-V را قطع می کنند (شکل ۴-۵).

ایزوتوپ گوگرد و اکسیژن

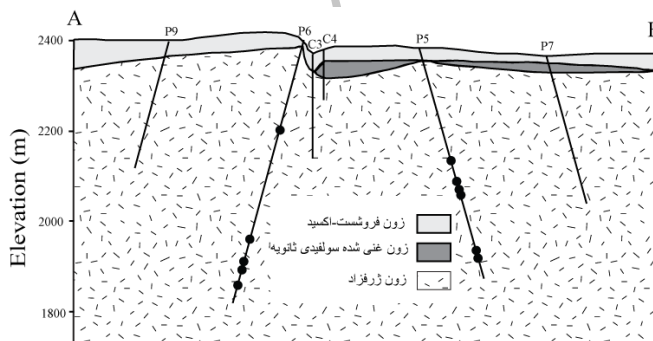
مقادیر $\delta^{34}\text{S}$ ۰/۷٪ اندازه گیری شده در نمونه های پیریت کانسار پر کام دارای دامنه تغییرات نسبتاً وسیعی است. کمترین مقدار اندازه گیری شده در این پیریت ها ۰/۹٪ و بیشترین مقدار $\delta^{34}\text{S}$ ۲/۹٪ می باشد (جدول ۱). مقدار متوسط $\delta^{34}\text{S}$ نمونه های پیریت ۰/۸ در هزار است. کمترین مقدار $\delta^{34}\text{S}$ در نمونه های کالکوپیریت ۰/۶ و بیشترین مقدار ۰/۳ در هزار می باشد. مقدار متوسط $\delta^{34}\text{S}$ نمونه های کالکوپیریت کانسار پر کام ۰/۳٪ می باشد. دامنه تغییرات $\delta^{34}\text{S}$ نمونه های انیدریت دارای محدوده وسیعتری می باشد. این نمونه ها دارای دامنه تغییرات ۱۱/۷٪ ۲۱/۳٪ با مقدار متوسط ۱۶/۱٪ می باشند (جدول ۱). هیستوگرام فراوانی مقادیر $\delta^{34}\text{S}$ نمونه های پیریت، کالکوپیریت (سولفیدها) و انیدریت (سولفات) ترسیم شده است (شکل ۵).

به طور کلی نمونه های انیدریت نسبت به نمونه های پیریت و کالکوپیریت از $\delta^{34}\text{S}$ غنی تر هستند و دارای مقادیر بیشتری از $\delta^{34}\text{S}$ می باشند (شکل ۵ و ۶).

دامنه تغییرات ایزوتوپ گوگرد در کانسار مس-مولبیدن پورفیری بیوت در مونتانا آمریکا بین یک تا دو در هزار می باشد که گویای منشاء ماقمایی گوگرد می باشد (Field, et al., 2005). معانی جو و همکاران (۱۳۹۱) به بررسی سیستماتیک ایزوتوپ های گوگرد و اکسیژن در کانسار را سولفاتی کانسار مس پورفیری سرچشمه پرداختند و منشاء گوگرد این کانسار را ماقمایی تشخیص دادند.

کلاغری (۲۰۰۳) به بررسی ایزوتوپ های پایدار گوگرد، اکسیژن، هیدروژن و کربن در زون های دگرسانی فیلیک و پاتاسیک- فیلیک کانسار مس پورفیری سونگون پرداخته است و مقادیر ایزوتوپی این کانسار را با کانسارهای مهم مس پورفیری دنیا مقایسه کرده است. منشاء محلول گرمابی و گوگرد کانسار مس پورفیری سونگون بر اساس داده های ایزوتوپی از نوع ماقمایی می باشد (Calagari, 2003).

مقادیر متوسط $\delta^{34}\text{S}$ کانی های سولفیدی پیریت -کالکوپیریت در کانسار مس پورفیری پر کام ۰/۷٪ می باشد که این امر نشان دهنده تشکیل کانی های سولفیدی از سیالی است که سولفور آن دارای منشاء ماقمایی است (Ohmoto and Rye, 1979).



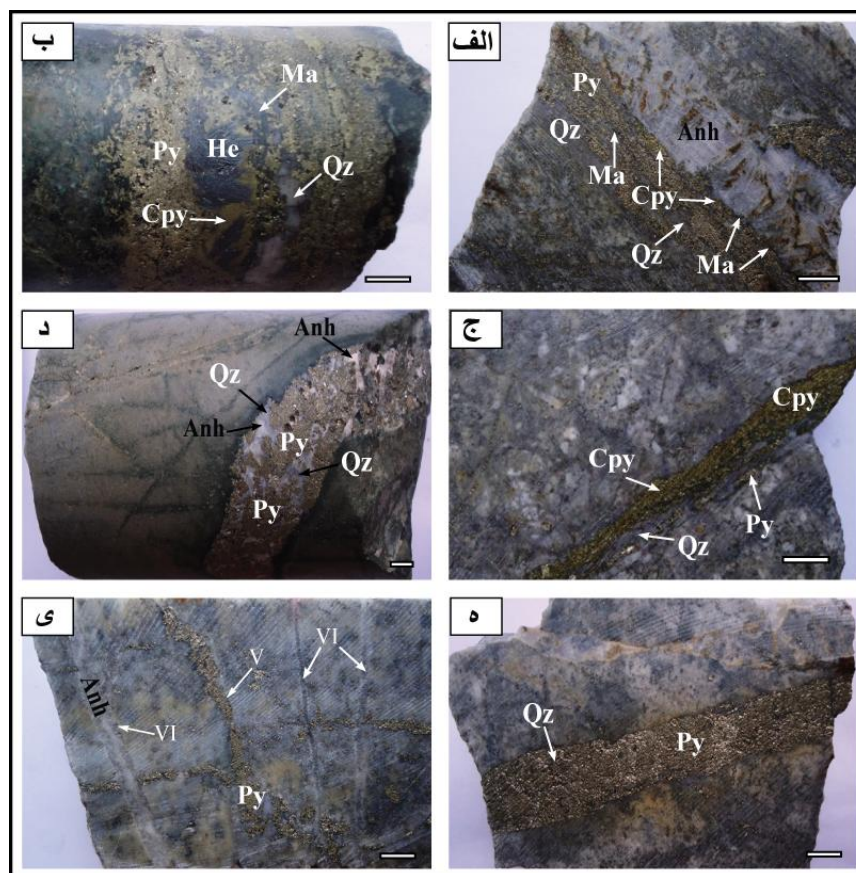
شکل ۳. مقطع عرضی از کانسار پر کام در امتداد برش A-B با زون های کانی زایی و محل گمانه ها. دایره های توبیر محل بعضی از نمونه های برداشت شده در این گمانه ها را مشخص می کند.

شامل پاتاسیک، بیوتیتیک، پاتاسیک- فیلیک، آرژیلیک و پروپلیتیک می باشند (محمدی لقب و همکاران، ۱۳۹۱). دگرسانی پاتاسیک اغلب در بخش مرکزی و ژرف ترین قسمت کانسار مشاهده می شود و بوسیله ی بیوتیت ثانویه و فلدسپار پاتاسیم ثانویه مشخص می شود، بیش ترین گسترش این دگرسانی در توده های نفوذی سارا پورفیری و کوارتز دیوریت پورفیری دیده می شود. دگرسانی بیوتیتیک همانند دگرسانی پاتاسیک بوده اما بیوتیت ثانویه در آن غالب می باشد و بیشتر در سنگ های آتشفسانی دیواره گسترش دارد (محمدی لقب و همکاران، ۱۳۹۱).

دگرسانی پاتاسیک - فیلیک با متأثر شدن دگرسانی پاتاسیک از دگرسانی فیلیک حاصل آمده است که با حضور کانی های فلدسپار پاتاسیم ثانویه، بیوتیت ثانویه، سرسیت، کوارتز و انیدریت مشخص می شود. گسترش دگرسانی فیلیک در کانسار سارا زیاد بوده و بخش اعظم این دگرسانی در توده سارا پورفیری رخ داده است (محمدی لقب و تقی پور، ۱۳۹۰). اجتماع کانیایی این دگرسانی شامل کوارتز، سرسیت و پیریت می باشد. دگرسانی آرژیلیک، با حضور کانی های رسی (کائولینیت، مونتموریلوبنت و ایلیت)، اندکی سرسیت و کوارتز مشخص می شود که اصولاً در سنگ های آتشفسانی و حاشیه ی جنوبی کانسار گسترش یافته است. در دگرسانی پروپلیتیک کانی های کلریت، اپیدوت، کلسیت، سرسیت و کوارتز قابل تشخیص است. کانی اپیدوت گسترش کمی دارد و به نظر می رسد دگرسانی پروپلیتیک باشد قوی در منطقه حضور ندارد. این دگرسانی عمدتاً در سنگ های آتشفسانی منطقه گسترش دارد (محمدی لقب و تقی پور، ۱۳۹۰).

کانی زایی رگه ای و استوک ورک در کانسار سارا گسترش خوبی دارد و اصولاً در قسمت مرکزی و عمقی کانسار و همراه با دگرسانی های پاتاسیک- فیلیک و فیلیک یافته است. بر اساس بررسی نمونه های دستی ۶ نوع رگه با ترکیب کانی شناسی زیر در این کانسار شناسایی شده است: I) کوارتز + مگنتیت+ کالکوپیریت+ پیریت + انیدریت ، II) کوارتز + مگنتیت + کالکوپیریت + هماتیت + پیریت، III) کواتز+ کالکوپیریت+ انیدریت ± پیریت، IV) کواتز + پیریت + انیدریت (زیپس) ± کالکوپیریت، V) پیریت ± کوارتز، VI) انیدریت.

ضخامت رگه های گروه I از ۳ میلی متر تا ۱۰ سانتی متر در تغییر است و اصولاً شامل کالکوپیریت، پیریت و مگنتیت می باشد که بیشتر در قسمت مرکزی و در بعضی از رگه ها در حاشیه قرار می گیرند. این رگه ها با دگرسانی های پاتاسیک- پاتاسیک- فیلیک و فیلیک همراه می باشند و در توده پر کام پورفیری و کوارتز دیوریت پورفیری دیده می شوند. رگه گروه II که ضخامت آن ها تا ۵ سانتی متر هم می رسد و غالباً از پیریت، کالکوپیریت، هماتیت سوزنی شکل و مگنتیت شده است. دگرسانی فیلیک این رگه را احاطه می کند (شکل ۴-ب). رگه گروه III دارای ضخامت ۲ میلی متر تا ۱/۵ سانتی متر می باشند. این نوع رگه اصولاً از کالکوپیریت و مقدار کمتری پیریت تشکیل یافته که بیشتر در قسمت مرکزی رگه قرار می گیرند (شکل ۴-ج). این رگه ها پیوسته و دارای دیواره منظم هستند و با دگرسانی های پاتاسیک- فیلیک همراه می باشند. دیواره آن ها منظم و گاهی نامنظم و ضخامت آن ها از ۲ میلی متر تا ۸ سانتی متر در تغییر است. این گروه از رگه ها با دگرسانی پاتاسیک، پاتاسیک- فیلیک و فیلیک همراه می باشند. در سیستم استوک ورک کانسار پر کام بیشترین گسترش را دارد (شکل ۴-د). رگه های گروه V از پیریت و مقدار بسیار اندکی از کوارتز تشکیل شده است و بیشتر با دگرسانی فیلیک همراه می باشند. این رگه ها دارای ضخامت ۰/۵ سانتی متر تا ۲ سانتی متر و دیواره منظم و پیوسته می باشند که در قسمتهای

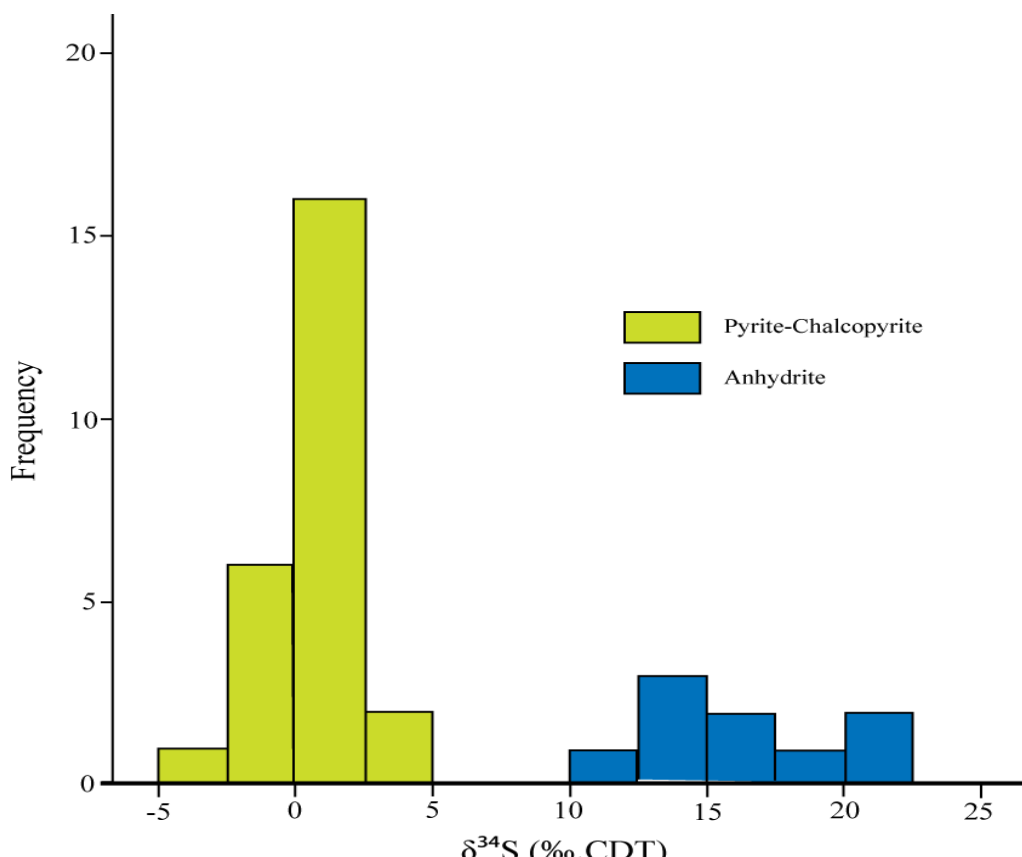
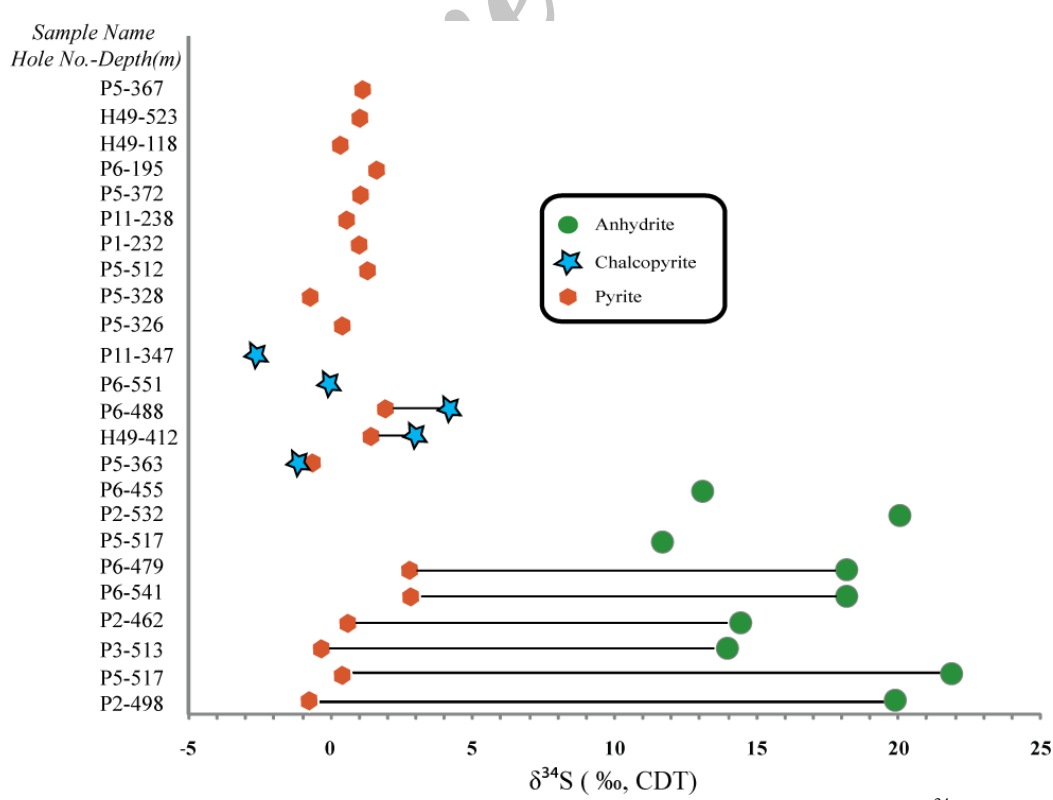


شکل ۴. انواع رگه ها در کانسار پرکام (الف)، رگه نوع I (ب)، رگه نوع II (ج)، رگه نوع III (د)، رگه نوع IV (ه)، رگه نوع V (ی)، رگه و رگچه VI که رگه V را قطع کرده است. مقیاس برای همه تصاویر ۱۰ cm می باشد. اختصارات: ایدریت: Anh، کالکوپیریت: Cpy، هماتیت: He، مگنتیت: Ma، پیریت: Py، کوارتز: Qz.

جدول ۱. نتایج آنالیز ایزوتوپ گوگرد و اکسیژن در کانی های پیریت، کالکوپیریت و ایدریت در کانسار مس پورفیری پرکام

Sample No.	Hole number-depth(meter)	Vein Mineralogy	Alteration Halo	$\delta^{34}\text{S}$		$\delta^{18}\text{O}$
				(‰, CDT)	(‰, SMOW)	(‰, SMOW)
10520	P2-498	Py-Anhy	Qrz-Ser	-0.7	19.9	9.7
10521	P5-517	Py-Anhy	Qrz-Ser	0.5	21.3	9.1
10523	P3-513	Py-Anhy	Qrz-Ser	-0.3	14.1	8.3
10524	P2-465	Py-Anhy-Qrz-Mag	Kfl-Bi-Qrz-Ser	0.7	13.8	2.8
10525	P6-541	Py-Anhy-Qrz-Mag	Qrz-Ser	2.9	15.4	6.4
10526	P6-479	Py-Anhy-Qrz-Mag-Cpy	Kfl-Bi-Qrz-Ser	2.9	15.3	5.7
10527	P5-517	Py-Anhy.	Qrz-Ser		11.7	6.8
10528	P2-532	Py-Anhy-Mag	Qrz-Ser		20.1	7.0
10529	P6-455	Py-Anhy-Mag-Cpy	Kfl-Bi-Qrz-Ser		13.2	6.1
10536	P5-363	Py-Cpy-Mag	Qrz-Ser	-0.7	-0.1	
10537	H49-412	Py-Cpy-Mag-Qrz-Anhy	Kfl-Bi-Qrz	1.4	1.6	
10538	P6-488	Py-Cpy-Mag-Qrz-Anhy	Kfl-Bi-Qrz	2.0	2.3	
10539	P6-551	Py-Cpy-Qrz-Anhy	Kfl-Bi-Qrz		-0.1	
10540	P11-347	Py-Cpy	Qrz-Ser		-2.6	
10542	P5-326	Py-Anhy	Qrz-Ser	0.4		
10545	P5-328	Py-Anhy-Qrz-Cpy	Qrz-Ser	-0.7		
10553	P5-512	Py	Qrz-Ser	1.3		
10554	P1-232	Py-Anhy-Qrz	Qrz-Ser	1.0		
10555	P11-238	Py-Anhy	Qrz-Ser	0.6		
10556	P5-372	Py-Cpy	Qrz-Ser	1.0		
10557	P6-195	Py-Cpy-Mag-Anhy	Qrz-Ser	1.6		
10558	H49-118	Py-Anhy	Qrz-Ser	0.3		
10559	H49-523	Py-Cpy-Qrz-Anhy	Kfl-Bi-Qrz	1.0		
10560	P5-367	Py-Mag	Qrz-Ser	1.2		

Cpy = Chalcopyrite, Py = Pyrite, Anhy = Anhydrite, Mag = Magnetite, Kfl = K-feldspar, Bi = Biotite, Ser = Sericite, Qrz = Quartz

شکل ۵. نمودار فراوانی مقادیر $\delta^{34}\text{S}$ کالکوپیریت، پیریت و انیدریت در کانسار پرکامشکل ۶. محدوده تغییرات مقادیر $\delta^{34}\text{S}$ در کانی های پیریت، کالکوپیریت و انیدریت کانسار مس پورفیری پرکام. جفت کانی های انیدریت-پیریت و پیریت-کالکوپیریت به وسیله یک خط نازک به هم وصل شده اند.

همچنین برای تعیین دمای تشکیل رگه های مختلف کانی زایی در کانسار مس پورفیری میدوک از مقادیر $\delta^{34}\text{S}$ جفت کانی پیریت-کالکوپیریت استفاده کرده است.

در کانسار پرکام برای محاسبه دمای تشکیل رگه های مختلف از جفت کانی های انیدریت-پیریت و پیریت-کالکوپیریت استفاده شده است. مطالعات پتروگرافی و کانی شناسی نشان می دهد که انیدریت همزمان با پیریت، و پیریت همزمان با کالکوپیریت در رگه ها و رگچه ها در این کانسار نهشته شده است. مقادیر $\delta^{34}\text{S}$ این جفت کانی ها و دمای محاسبه شده در (جدول ۲) آورده شده است.

دمای محاسبه شده با استفاده از ایزوتوپ گوگرد جفت کانی انیدریت - پیریت از 263.3°C تا 441.9°C در تغییر است. دو نمونه از جفت کانی پیریت-انیدریت دارای کمترین دمای تشکیل می باشند (شکل-۷) و این نمونه ها دارای بیشترین مقدار اختلاف در مقادیر $\delta^{34}\text{S}$ می باشند (جدول-۲). این نمونه ها دارای دگرسانی کوارتز-سریسیت می باشند و مقدار بالای $\delta^{34}\text{S}$ کانی انیدریت ($21/3\%$) در این نمونه ها نشاندهند تاثیر آب های جوی و اختلاط آمها با آب ماقمایی می باشد. از سه جفت کانی پیریت-کالکوپیریت، فقط یک نمونه در حال تعادل تشخیص داده شد که دمای تعادل آن 593°C سانتیگراد می باشد (جدول ۲ و شکل ۷).

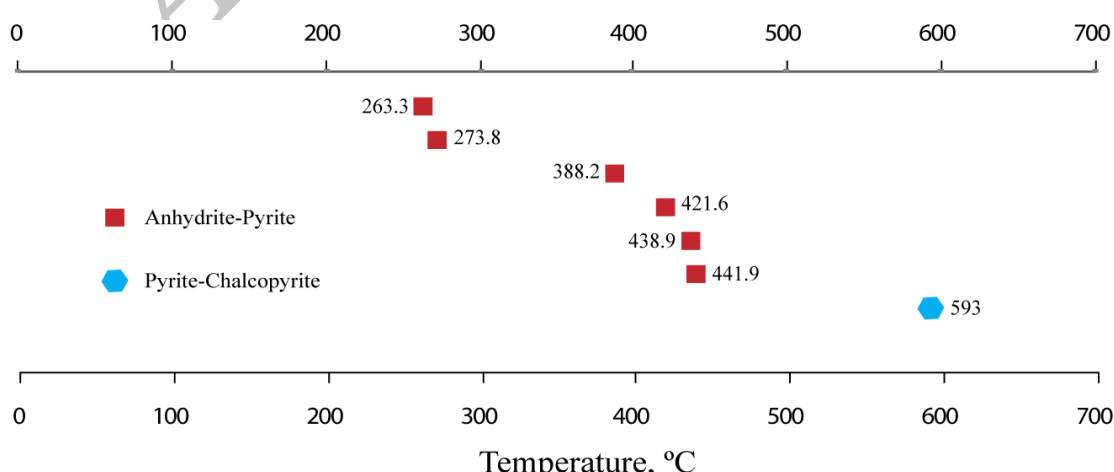
دماسنجه ایزوتوپ گوگرد

یکی از روش های تخمین دمای تشکیل رگه های مختلف در کانسارهای مس پورفیری استفاده از ایزوتوپ گوگرد جفت کانی های سولفیدی و یا سولفاتی-سولفیدی می باشد (Field and Gustafson, 1976; Field et al., 2005; Grinenko et al., 2008) پیریت-کالکوپیریت و انیدریت-پیریت به صورت اولیه در رگه های کانسار مس پورفیری پرکام رخ داده اند (محمدی لقب و همکاران، ۱۳۸۹)، می توان از مقادیر $\delta^{34}\text{S}$ این جفت کانی ها برای محاسبه دمای تشکیل آنها استفاده کرد. تفاوت ایزوتوپی بین این جفت کانی ها می تواند منعکس کننده واکنش های ایزوتوپی تعادلی در زمان نهشته شدن این کانی ها باشد. بنابراین دمای ایزوتوپی محاسبه شده را می توان از مقادیر $\delta^{34}\text{S}$ این جفت کانی ها و با استفاده از معادلات ارائه شده توسط اهموتو و رای (۱۹۷۹) و اهموتو و لاساگا (۱۹۸۲) محاسبه کرد.

فیلد و همکاران (۲۰۰۵) با استفاده از مقادیر ایزوتوپی گوگرد جفت کانی های انیدریت-مولیبدنیت، انیدریت-پیریت و انیدریت-کالکوپیریت در کانسار مس-مولیبدن پورفیری بیوت، دمای تشکیل این کانی ها را به ترتیب -545°C ، 360°C و 480°C درجه سانتی گراد تعیین کردند. حسن زاده (۱۹۹۳) اولین مطالعه ایزوتوپی گوگرد را بر روی کانی های پیریت و کالکوپیریت واحد های دگرسانی مختلف کانسار میدوک انجام داد. وی

جدول ۲. مقادیر $\delta^{34}\text{S}$ و دمای محاسبه شده جفت کانی های انیدریت-پیریت و پیریت-کالکوپیریت در کانسار مس پورفیری پرکام

Sample No.	$\delta^{34}\text{S}_{\text{Py}} (\text{‰}, \text{CDT})$	$\delta^{34}\text{S}_{\text{Cpy}} (\text{‰}, \text{CDT})$	$\delta^{34}\text{S}_{\text{Anhy}} (\text{‰}, \text{CDT})$	$A^{34}\text{S}_{\text{Anhy-Py}}$	$T, ^\circ\text{C} (\text{calculated})$	$A^{34}\text{S}_{\text{Py-Cpy}}$	$T, ^\circ\text{C} (\text{calculated})$
10520	-0.7		19.9	21.6	263.3		
10521	0.5		21.3	20.8	273.8		
10523	-0.3		14.1	14.4	388.2		
10524	0.7		13.8	13.1	421.6		
10525	2.9		15.4	12.5	438.9		
10526	2.9		15.3	12.4	441.9		
10536	-0.7	-0.1				-0.6	593



شکل ۷. محدوده دمای محاسبه شده از جفت کانی های پیریت-انیدریت و پیریت-کالکوپیریت در کانسار پرکام

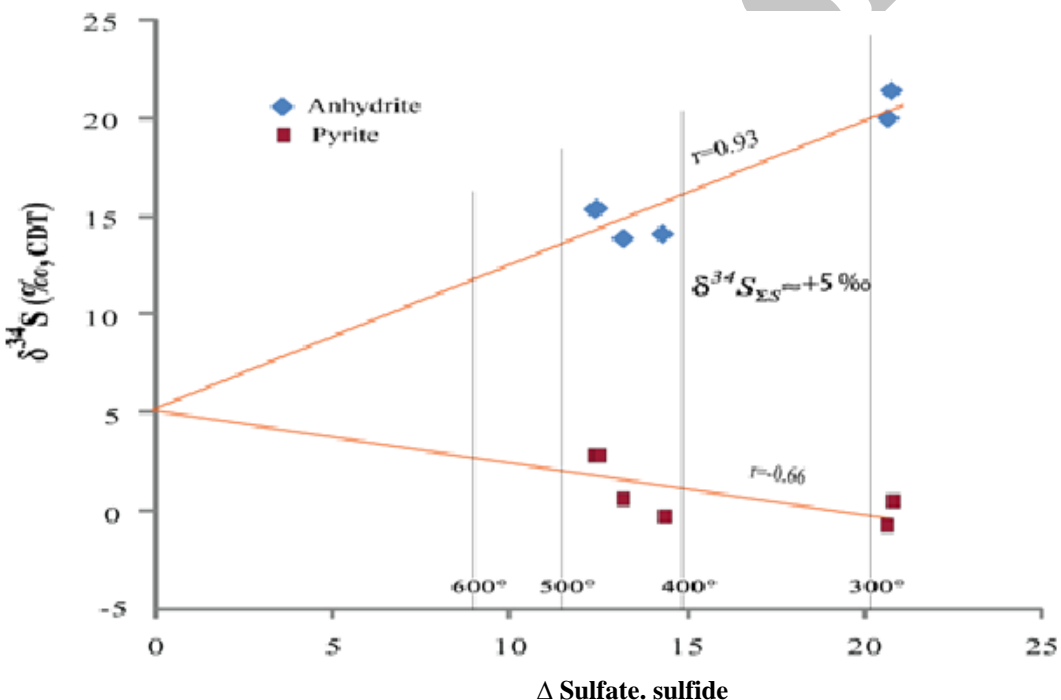
یکی از راه های تعیین مقدار ایزوتوپ اکسیژن آب موجود در محلول گرمابی استفاده از مقادیر $\delta^{18}\text{O}$ کانی های سولفاتی می باشد (Field and Gustafson, 1976; Field et al., 2005; Grinenko et al., 2008). در کانسار مس پورفیری پرکام بر اساس مقادیر $\delta^{18}\text{O}$ اندازه گیری شده در کانی اندیزیت می توان مقادیر $\delta^{18}\text{O}$ آبی که همزمان با تشکیل اندیزیت حضور داشته است را اندازه گیری کرد. برای این کار از معادله ارائه شده توسط Chiba et al (1981) استفاده شده است. این معادله به صورت زیر می باشد:

$$1000\ln\alpha_{\text{Anhy-water}} = (3.88 \times 10^6)T^{-2} - 4.72$$

در این معادله T دمای تشکیل کانی بر حسب درجه کلوین می باشد. دمای به کار رفته برای این محاسبه بر اساس دمای تخمین زده با استفاده از جفت کانی اندیزیت - پیریت می باشد. مقادیر ایزوتوپ اکسیژن و گوگرد کانی اندیزیت، دمای محاسبه شده از جفت کانی پیریت-اندیزیت و مقادیر $\delta^{18}\text{O}_{\text{H}_2\text{O}}$ آب موجود در محلول گرمابی در (جدول ۳) آورده شده است. مقادیر $\delta^{18}\text{O}_{\text{H}_2\text{O}}$ محلول گرمابی در کانسار پورکام به جز یک نمونه از ۳۰/۰% تا ۵/۶٪ در تغییر گرمابی می باشد. مقدار $\delta^{18}\text{O}$ آب های ماقمایی اولیه ۱۰ در هزار می باشد (Taylor, 1979).

محاسبه مقدار $\delta^{34}\text{S}$ و $\delta^{18}\text{O}$ محلول گرمابی

با استفاده از مقدار $\delta^{34}\text{S}$ جفت کانی های سولفیدی-سولفاتی می توان مقادیر $\delta^{34}\text{S}_{\Sigma\text{S}}$ را تعیین کرد که نشاندهنده مقدار $\delta^{34}\text{S}$ گوگرد کل در محلول گرمابی می باشد. در کانسار مس پورفیری پرکام از جفت کانی پیریت-اندیزیت برای مشخص کردن مقدار ایزوتوپ گوگرد سولفور کل محلول گرمابی استفاده شده است. مقدار $\delta^{34}\text{S}$ کانی پیریت در این کانسار با مقدار $\delta^{34}\text{S}$ اندیزیت یک رابطه منفی نشان می دهد (شکل ۸). مقدار اختلاف بین کانی پیریت و اندیزیت (جدول ۴) از $\delta^{34}\text{S}_{\text{Anhy-Py}}$ از ۱۲/۴٪ تا ۲۱/۶٪ دارد. تغییر می باشد (جدول ۲ و شکل ۸). در شکل ۸ رابطه بین مقدار اخلاق ایزوتوپ گوگرد دو خط انطباق ترکیب ایزوتوپی کانی های پیریت و اندیزیت در این نمودار یکدیگر را در $\delta^{34}\text{S}=+5\%$ قطع می کنند که نشاندهنده مقدار متوسط ایزوتوپ گوگرد سولفور کل موجود در محلول گرمابی می باشد ($\delta^{34}\text{S}_{\Sigma\text{S}}=+5\%$). این مقدار گویای این است که بخشی از گوگرد موثر در تشکیل این کانسار از گوگرد سنگین با منشاء قاره ای نشات گرفته است.



شکل ۸. نمودار تغییرات $\delta^{34}\text{S}$ در مقابل $\Delta \delta^{34}\text{S}_{\text{Anhy-Py}}$ جفت کانی پیریت-اندیزیت در کانسار مس پورفیری پرکام

جدول ۳. مقادیر $\delta^{18}\text{O}$ و $\delta^{34}\text{S}$ اندیزیت و مقادیر محاسبه شده $\delta^{18}\text{O}_{\text{H}_2\text{O}}$ محلول گرمابی (دما با استفاده از جفت کانی اندیزیت-پیریت محاسبه شده است).

Sample No.	$\delta^{34}\text{S}_{\text{Anhy}}$ (‰, CDT)	$\delta^{18}\text{O}_{\text{Anhy}}$ (‰, SMOW)	$T, ^\circ\text{C}$ (calculated)	$\delta^{18}\text{O}_{\text{water}}$ (‰, SMOW)
10520	19.9	9.7	263.3	3.24
10521	21.3	9.1	273.8	3.08
10523	14.1	8.3	388.2	5.67
10524	13.8	2.8	421.6	0.86
10525	15.4	6.4	438.9	4.78
10526	15.3	5.7	441.9	4.13

هستند و دارای مقادیر بیشتری از $\delta^{34}\text{S}$ می باشند. دمای محاسبه شده با استفاده از ایزوتوپ گوگرد جفت کانی انیدریت-پیریت از 263.3°C در تغییر است. مقادیر $\delta^{34}\text{S}_{\text{H}_2\text{O}}$ محلول گرمایی در کانسار پرکام از ۴۴۱.۹٪ تا ۳۰۸٪ در تغییر می باشد که نشاندهنده اختلاط آب ماقمایی و آب جوی در تشکیل محلول گرمایی این کانسار می باشد. مقدار متوسط ایزوتوپ گوگرد سولفور کل موجود در محلول گرمایی موثر در تشکیل کانسار مس پورفیری پرکام $\delta^{34}\text{S}_{\Sigma\text{S}} = +5\%$ می باشد. این مقدار گویای این است که بخشی از گوگرد موثر در تشکیل این کانسار از گوگرد سنتگین با منشاء قاره ای نشات گرفته است. مقادیر $\delta^{34}\text{S}$ کانی های سولفیدی و سولفاتی کانسار مس پورفیری پرکام تقریباً با مقادیر ایزوتوپ گوگرد این کانی ها در دیگر کانسارهای مس پورفیری زون ارومیه- دختر همخوانی دارد که گویای تاثیر فرایندهای مشابه در تشکیل این کانسارها می باشد.

تشکر و قدردانی

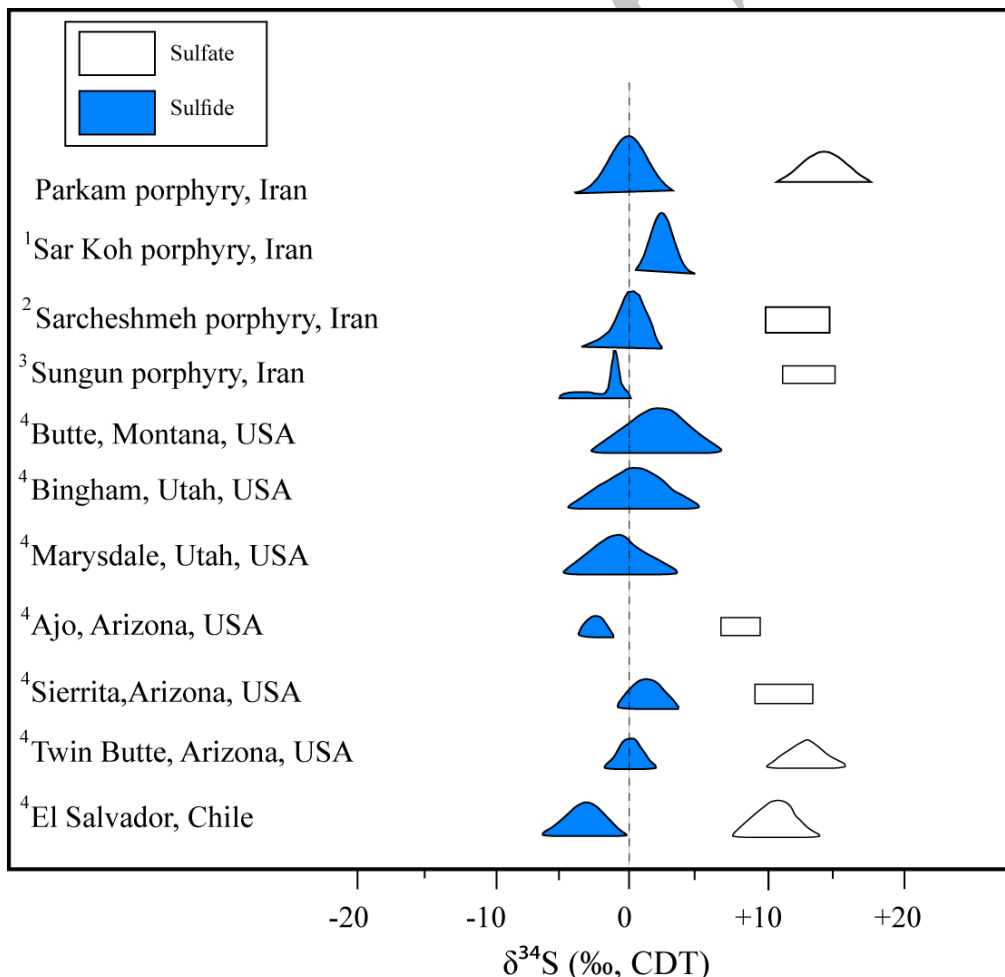
از حمایت های مالی معاونت پژوهشی دانشگاه دامغان در خصوص طرح پژوهشی شماره ۹۲/Geo/۱۱۶/۲۱۹ تقدیر و تشکر به عمل می آید. از جنب آقای مهندس تقی زاده، ریاست محترم امور اکتشافات معدن مس سرچشم و آقای مهندس ایرانمنش به علت در اختیار گذاشتن اطلاعات و داده ها و کمک در نمونه برداری صمیمانه تشکر می شود. همچنین از خانم حکیمه محمدی لقب به خاطر جداسازی و آماده سازی نمونه ها سپاسگزاریم.

مقایسه با کانسارهای مس پورفیری ایران و جهان

مقادیر $\delta^{34}\text{S}$ کانی های سولفیدی و سولفاتی کانسار مس پورفیری پرکام با مقادیر $\delta^{34}\text{S}$ دیگر کانسارهای مس پورفیری مقایسه شده است (شکل ۹). دامنه تغییرات $\delta^{34}\text{S}$ کانی های سولفیدی در کانسار پرکام نسبتاً محدود است و تقریباً مشابه با کانسارهای بینگهام، Marysdale و Butte و کانسار مس پورفیری سرچشم می باشد (شکل ۹). اما دامنه تغییرات $\delta^{34}\text{S}$ انیدریت در کانسار پرکام وسیع تر از کانسارهای دیگر است. البته دارای مقدار قابل توجهی همپوشانی با مقادیر $\delta^{34}\text{S}$ انیدریت در کانسار سرچشم، Sungun و کانسار Twin Butte می باشد (شکل ۹). دامنه تغییرات $\delta^{34}\text{S}$ کانی های سولفیدی و سولفاتی کانسار مس پورفیری پرکام دارای انطباق قابل توجهی با دیگر کانسارهای مس پورفیری دنیا می باشد.

نتیجه گیری

مقادیر $\delta^{34}\text{S}$ کانی پیریت در کانسار مس پورفیری پرکام از -0.7°C تا $+2.9^{\circ}\text{C}$ در هزار متغیر می باشد و مقدار متوسط $\delta^{34}\text{S}$ نمونه های پیریت $+0.8\%$ است. کمترین مقدار $\delta^{34}\text{S}$ در نمونه های کالکوپیریت -2.6% و بیشترین مقدار 2.3% است. مقدار متوسط $\delta^{34}\text{S}$ نمونه های کالکوپیریت کانسار پرکام $+0.3\%$ می باشد. مقادیر ایزوتوپ گوگرد کانی های سولفیدی کانسار مس پورفیری پرکام گویای منشاء ماقمایی گوگرد در این کانسار می باشد. انیدریت نسبت به کانی های پیریت و کالکوپیریت در کانسار پرکام از $\delta^{34}\text{S}$ غنی تر



شکل ۹. مقایسه دامنه تغییرات مقادیر $\delta^{34}\text{S}$ کانی های سولفیدی و سولفاتی کانسار مس پورفیری ایران و جهان .⁴Ohmoto and Rye .

¹Nourali and Mirnejad (2012),²Calagari (2003),³(1979) جو و همکاران (۱۳۹۱)،

منابع

- علیرضایی، س، ۱۳۸۷، زمین شناسی کانسارها، نشر دانش امروز، ۱۱۵۵ صفحه (ترجمه)
- معانی جو، م، مستقیمی، م، عبدالهی ریسه، م، سپاهی گرو، ع.ا، ۱۳۹۱، مطالعات سیستماتیک ایزوتوپ های پایدار گوگرد و سیالات در گیر گروه های رگجه های مختلف کانسار مس پورفیری سرچشم، بر اساس داده های جدید، مجله زمین شناسی اقتصادی، شماره ۲، جلد ۴، ص ۲۱۷ - ۲۳۹.
- محمدی لقب، ح، تقی پور، ن، ۱۳۹۰، تکامل فیزیکو - شیمیایی سیال گرمایی در کانسار مس پورفیری سارا (پرکام)، استان کرمان، مجله زمین شناسی کاربردی پیشرفتی، جلد ۱، شماره ۱، ص ۱۱-۲۴.
- محمدی لقب، ح، تقی پور، ن، ایرانمنش، م.ر، ۱۳۸۹، الگوی دگرسانی و کانی زایی کانسار مس پورفیری پرکام (پرکام)، شهر بابک، استان کرمان، نخستین همایش انجمن زمین شناسی اقتصادی ایران، دانشگاه فردوسی مشهد
- مهندسین مشاور کان ایران، ۱۳۸۷، مطالعات زمین شناسی و دگرسانی در محدوده پرکام، ۸۷ صفحه

- Berberian.M., and King.G.C., 1981, Towards a paleogeography and tectonic evolution of Iran, Canadian Journal of Earth Sciences, Vol:18, p: 210-265
- Bethke.P.M., Rye.R.O., Stoffregen.R.E., Vikre.P.G., 2005, Evolution of the magmatic-hydrothermal acid-sulfate system at Summitville, Colorado: integration of geological, stable-isotope, and fluid-inclusion evidence, Chemical Geology, Vol: 215, p: 281-315
- Calagari.A.A., 2003, Stable isotope (S, O, H and C) studies of the phyllitic and potassio-phyllitic alteration zones of the porphyry copper deposit at Sungun, East Azarbaijan, Iran, Journal of Asian Earth Sciences, Vol:21, p:767-780
- Chiba.H., Kusakabe.M., Hirano.S.I., Matsuo.S., Somiya.S., 1981, Oxygen isotope fractionation factors between anhydrite and water from 100 to 550°C, Earth and Planetary Science Letters, Vol:53, p:55-62
- Dimitrijevic.M., 1973, Geology of Kerman region: institute for geological and mining exploration and institution of nuclear and other mineral raw materials, Beograd-Yugoslavia, Iran Geol. Survey Rept. Yu/52.
- Field.C.W., and Gustafson.L.B., 1976, Sulfur isotopes in the porphyry copper deposit at El Salvador, Chile, Economic Geology, Vol: 71, p: 1533-1548
- Field.C.W., Zhang.L., Dilles.J.H., Rye.R.O., Reed.M.H., 2005, Sulfur and oxygen isotopic record in sulfate and sulfide minerals of early, deep, pre-Main Stage porphyry Cu-Mo and late Main Stage base-metal mineral deposits, Butte district, Montana, Chemical Geology, Vol: 215, p: 61-93
- Grinenko, V.A., Ustinov, V.I., Grinenko, L.N., 2008, Formation Conditions of Sulfide-Sulfate Assemblages in Hydrothermal Deposits: Isotopic and Fluid Inclusion Constraints, Geochemistry International, Vol: 46, No. 9, p: 945–950.
- Hassanzadeh.J., 1993, Metallogenic and tectono-magmatic events in SE sector of the Cenozoic active continental margin of Central Iran (Shahr-Babak, Kerman province), PH.D thesis, University of California, 201P.
- Nourali.S., Mirnejad.H., 2012, Hydrothermal evolution of the Sar-Kuh porphyry copper deposit, Kerman, Iran: A fluid inclusion and sulfur isotope investigation, Jgeope, Vol: 2, p: 93-107
- Ohmoto.H., Rye.R.O., 1979, Isotopes of sulfur and carbon. In: Barnes, H.L. (Ed.), Geochemistry of Hydrothermal Ore Deposits, (2nd Ed.)Wiley, New York, p: 509– 567
- Ohmoto.H., Lasaga.A.C., 1982, Kinetics of reactions between aqueous sulfates and sulfides in hydrothermal systems, Geochim.Cosmochim. Acta, Vol:46, p:1727-1745
- Ohmoto.H., 1986, Stable isotope geochemistry of ore deposits. In J.W. Valley, H.P. Taylor, Jr., and J.R. O'Neil, eds., Reviews in Mineralogy, Volume 16: Stable Isotopes in High Temperature Geological Processes, Mineralogical Society of America, p:491-560
- Ohmoto.H., Kaiser.C.J., and Geer.K.A., 1990, Systematics of sulphur isotopes in recent marine sediments and ancient sediment-hosted basemetalliferous deposits. In: H.M. Herbert & S.E. Ho eds., Stable Isotopes and Fluid Processes in Mineralisation: The Univ. of Western Australia Publication, No: 23, p:70-120
- Ohmoto.H., Goldhaber.M.B., 1997, Isotopes of sulfur and carbon. In: Barnes, H.L. (Ed.), Geochemistry of Hydrothermal Ore Deposits, (2nd Ed.)Wiley, New York, p: 517– 612
- Taghipour.N., Aftabi.A.L., and Mathur.R., 2008, Geology and Re-Os geochronology of mineralization of the Miduk porphyry copper deposit, Iran, Resource Geology, Vol: 58, Issue 2, p: 143-160
- Taylor.H.P.Jr., 1979. Oxygen and hydrogen isotope relationships in hydrothermal minerals deposit: In geochemistry of hydrothermal ore deposits, 2nded., Barnes, H.J. (ed), New York, John Wiley, p:236-277